

42

ДИНЕРНЫЙ  
ИНСТИТУТ  
ЯДЕРНЫХ  
ЛЕДОВАНИЙ

З 19/VI 62

11 - 3327



С.В. Медведь, Ю.Н. Симонов

авторы:  
М.Н. Медведь, Ю.Н. Симонов

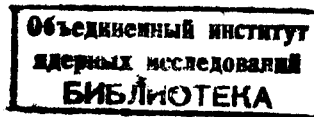
ПРОГРАММА РАСЧЕТА ФОРМЫ ИМПУЛЬСОВ,  
ПРОХОДЯЩИХ ПО КОАКСИАЛЬНОМУ КАБЕЛЮ

1967.

11 - 3327

С.В. Медведь, Ю.Н. Симонов

ПРОГРАММА РАСЧЕТА ФОРМЫ ИМПУЛЬСОВ,  
ПРОХОДЯЩИХ ПО КОАКСИАЛЬНОМУ КАБЕЛЮ



При постановке ряда опытов на пучках частиц от синхропиклotrona Лаборатории ядерных проблем ОИЯИ возникла необходимость учета искажений формы импульсов наносекундной длительности при передаче их по коаксиальным кабелям. Учет этих искажений особенно важен при использовании кабелей в качестве прецизионных линий задержки в случае различия форм рабочего и калибровочного сигналов. Искажения могут также привести к нарушению временных соотношений между сигналами от датчиков, когда спектральные составы передаваемых сигналов не идентичны.

Достаточно строгая теория переходных процессов в коаксиальном кабеле изложена в <sup>/1/</sup>. Известны также работы <sup>/2,3/</sup>, в которых на основании тех или иных упрощающих предположений авторы приходят к менее сложным выражениям для нахождения переходных характеристик. Однако в любом случае процесс расчета остается громоздким. Кроме того, переходные характеристики недостаточно наглядны для физика-экспериментатора, поскольку на их основе трудно сделать количественные оценки систематических ошибок, возникающих в эксперименте и обусловленных искажениями формы рабочих сигналов.

В экспериментальной практике применяется большое количество кабелей различных типов. Длины отрезков кабелей варьируются в широких пределах, а передаваемые сигналы существенно различаются по форме (сигналы от фотумножителей разных типов, импульсы напряжения для питания световых датчиков и т.д.).

Желательно иметь пособие, содержащее в графическом виде материалы по искажению формы наиболее часто применяемых сигналов при прохождении их по

коаксиальным кабелям. Авторами сделана попытка составления такого справочного пособия применительно к нуждам физиков, работающих на современных ускорителях. В основу описанной ниже математической программы положены результаты работы <sup>/3/</sup>, так как принятая в ней методика вычислений позволяет использовать исходные данные в удобной для экспериментатора форме.

## I .

Напряжения на выходе  $U_{\text{вых.}}(t)$  и входе  $U_{\text{вх.}}(t)$  линейной системы, в нашем случае - коаксиального кабеля, связаны между собой известным соотношением, куда входит переходная характеристика  $h(t)$  этой системы

$$U_{\text{вых.}}(t) = U_{\text{вх.}}(t) h(0) + \int_0^t U_{\text{вх.}}(r) \frac{d}{dt} h(t-r) dr. \quad (1)$$

Для реальных кабелей с потерями  $h(0) = 0$  и первый член обращается в нуль.

Если известна импульсная характеристика  $v(t)$ , то-есть реакция на входное воздействие в виде  $\delta$ -функции, то предыдущее выражение для  $U_{\text{вых.}}(t)$  может быть записано в иной форме

$$U_{\text{вых.}}(t) = \int_0^t U_{\text{вх.}}(r) v(t-r) dr. \quad (2)$$

Отсутствие производных по времени делает соотношение (2) более удобным для использования в расчетах, так как отпадает требование аналитического представления входящих в него функций.

Импульсную характеристику отрезка кабеля  $v(t)$  определим из соотношения

$$v(t) = \int_0^t c(t-r) d(r) dr, \quad (3)$$

где  $c(t)$  - импульсная характеристика, полученная без учета потерь в диэлектрике кабеля, и  $d(t)$  - импульсная характеристика, обусловленная потерями только в диэлектрике.

Величина  $c(t)$  может быть выражена через параметры отрезка кабеля

$$c(t) = \frac{4}{\sqrt{\pi}} \frac{\pi}{a^2 \ell^2} \left( \frac{a^2 \ell^2}{4\pi t} \right)^{3/2} \exp \left( - \frac{a^2 \ell^2}{4\pi t} \right), \quad (4)$$

где  $a$  - величина, связанная с конструкцией кабеля и электрическими свойствами проводников, внешнего и внутреннего,  $\ell$  - длина кабеля.

Выражение (4) можно преобразовать в более удобную для вычислений форму

$$c(t) = \frac{1}{r_0} \frac{4}{\sqrt{\pi}} \left( \frac{1}{q} \right)^{3/2} e^{-1/q}, \quad (5)$$

где бессистемный коэффициент  $q = 4t/r_0$ . Характеристическое время  $r_0$  связано с модулем затухания  $A_c$ , вызванного потерями только в проводнике

$$r_0 = \frac{a^2 \ell^2}{\pi} = \frac{(A_c \ell)^2}{\pi f}. \quad (6)$$

Методика определения величины  $A_c$  показана на рис.1. Частотная характеристика кабеля построена в логарифмическом масштабе по обеим осям координат. Значения  $A_c$  выбираются на прямой, экстраполированной из области низких частот, где еще не сказываются потери в диэлектрике. Эта прямая на рисунке показана пунктиром. Если затухание выражено в дБ/100 м, частота  $f$  в МГц и длина  $\ell$  в м, то  $r_0$  подсчитывается по формуле

$$r_0 \text{ (нсек)} = 4.2 \cdot 10^{-4} \frac{(A_c \ell)^2}{f}. \quad (6a)$$

Импульсная характеристика отрезка кабеля, полученная при учете потерь только в диэлектрике - член  $d(t)$  в выражении (3) - может быть рассчитана по следующей формуле

$$d(t) = \frac{4}{\pi} \frac{1}{r_1} \frac{1}{1 + (2t/r_1)^2}, \quad (7)$$

где  $r_1 = \frac{b\ell}{\pi}$ ,  $b$  - величина, зависящая от электрических свойств используемого в кабеле диэлектрика.

На том же рисунке показано, как определяется затухание  $A_d = A - A_c$ .

обусловленное потерями в диэлектрике. По величине  $A_d$  рассчитывается характеристическое время  $t_1$

$$t_1 \text{ (нсек)} = 0,366 A_d f / t. \quad (8)$$

Размерности величин, входящих в эту формулу, те же, что и для выражения (6а). Частота  $f$ , для которой определяются величины затухания  $A_d$  и  $A_a$  выбирается так, чтобы активная часть спектра сигнала  $U_{\text{вх.}}(t)$  лежала ниже ее. Верхней границей для  $f$  служит критическая частота кабеля, при которой в нем возникают колебания высших типов.

Изложенная процедура описана в работе /3/, откуда и взяты все основные соотношения. Видно, что методика определения формы сигнала после прохождения его по отрезку коаксиального кабеля сводится к последовательному вычислению двух интегралов Дюамеля (3) и (2). Необходимые данные для подсчета характеристических времен отрезка  $t_0$  и  $t_1$  могут быть взяты из справочников, например /4/, где обычно приведены величины затухания  $A$  для ряда частот.

## II .

С целью уменьшения количества информации, вводимой каждый раз в машину, оказалось целесообразным снабдить программу библиотекой исходных данных для наиболее часто встречающихся в практике вариантов расчета. В нее входят сведения о величинах затуханий для 12 типов кабелей и таблица длин отрезков (12 значений). Кроме того, в библиотеку введены подпрограммы, позволяющие описывать входные воздействия  $U_{\text{вх.}}(t)$  нескольких типов (прямоугольный сигнал, треугольный сигнал, сигнал производной формы, заданный в виде таблицы значений  $\{t_q, U_{\text{вх.}}(t_q)\}$  и т.д.).

В памяти машины можно одновременно хранить 108 числовых массивов, характеризующих входные воздействия (12 вариантов на каждый из 9 типов).

Программа написана для ЭВЦМ М-20.

Последовательность выбора материала из библиотеки и использования его в расчетах определяется кодом, набранным на пульте управления машиной. Под управляющий код отведена полностью первая ячейка ДЗУ (ДЗУ - 1), 3 адреса по 12 разрядов и 9 разрядов КОПа которой использованы следующим образом.

В разрядах 45 - 37 кодируются типы входного воздействия  $U_{\text{вх.}}(t)$ , для которых ведется расчет.

Разряды 36 - 25 отведены под коды различных вариантов входного воздействия выбранного типа. Например, можно задать любые из 12 пар величин, описывающих фронт и спад сигнала треугольной формы.

Разряды 24 - 13 отведены под коды типа кабеля, а код, заданный в разрядах с 12-го по 1-ый, служит для выбора отрезка той или иной длины.

## III .

Программа состоит из трех частей. Первая ее часть (рис.2) управляет последовательностью вычислений. На рисунке сплошными линиями показан порядок выполнения операций, а пунктиры - пути занесения результатов в рабочие ячейки соответствующих блоков.

Блок 1 переводит в двоичную систему счисления всю информацию, относящуюся к кабелям и длинам отрезков, а также некоторые вспомогательные величины.

Работа следующих блоков - блоков поиска - заключается в дешифрации соответствующих частей управляющего кода и преобразовании их в последовательность номеров, согласно которым происходит выбор числовых массивов и подпрограмм из библиотеки и введение их в расчет. Все эти блоки (6,8,11 и 13) написаны однотипно.

Если в процессе набора управляющего кода на пульте какой-либо адрес будет пропущен (ошибка оператора), то программа остановится в блоке 2. После исправления набранного кода для начала вычислений достаточно нажатия кнопки "Пуск".

После выбора номера варианта  $U_{\text{вх.}}(t)$  соответствующий ему числовой массив переносится в рабочие ячейки (блок 8). Блоки 7, 10 и 12 позволяют обойти счет тех вариантов, для которых исходная информация отсутствует (полностью или частично) в библиотеке программы.

По окончании работы первой части программы оказываются выбранными все необходимые подпрограммы и числовые массивы, а именно тип входного

воздействия, один из вариантов этого воздействия, марка кабеля и длина отрезка кабеля. Далее начинаются вычисления импульсной характеристики и формы выходного сигнала.

После выдачи результатов на печать производится переход к счету для другого отрезка кабеля, выбранного в соответствии с управляющим кодом. Окончив подсчеты для всех заданных длин, программа производит те же вычисления для следующей марки кабеля. После того как перебраны все заданные марки кабеля, в программе происходит смена входного воздействия, и цикл повторяется.

Для возможности изменения управляющего кода перед переходом к следующему типу входного воздействия предусмотрен останов (блок 2). Если во время останова оператор не изменит часть управляющего кода в разрядах 37 - 45, то после пуска указанный переход произойдет, в противном случае программа начнет работать сначала (блок 5).

Описанная схема построения программы позволяет легко управлять ходом вычислений даже тем физикам-экспериментаторам, которые только приступают к практической работе на ЭВЦМ.

#### IV .

Во второй части программы (рис.3) вычисляются оба интеграла Дионеля (2) и (3). Блок 15 задает временной интервал  $T$ , для которого производится расчет

$$T = n t_{\text{возд}}, \quad (8)$$

где  $t_{\text{возд}}$  - время действия входного напряжения.

В большинстве случаев нами принималось  $n=5$ , что вполне достаточно для удовлетворительного описания формы спада выходного напряжения. В интервале  $T$  вычисляются амплитуды  $U_{\text{вых}}(t_i)$  в 256 точках. Программа работает с переменным шагом по оси  $T$ . Величина его зависит, с одной стороны, от скорости спадания импульсной характеристики  $v(t)$ , а с другой - от скорости изменения  $U_{\text{вых}}(t)$ .

Начальный шаг  $H_{\text{нач}}$  выбирается как некоторая доля от характеристического времени  $t_0$ . Можно показать (рис.4), что вычисления с фиксированным мелким шагом  $H = t_0/m$ , где  $m > 4$ , не приводят к существенному увеличению точности расчетов даже в области резкого изменения импульсной характеристики, но требуют, естественно, большего машинного времени по сравнению с вариантом, где  $m=4$ . Для длинных отрезков ( $l > 50$  м) шаг, определенный как  $t_0/4$ , оказывается обычно столь велик, что построенные графики  $U_{\text{вых}}(t)$  не способны передать особенностей переходного процесса и от оптимального значения величины  $m$  при выборе  $H$  приходится отказываться. Поэтому для задания начального шага на первых этапах расчета используются следующие "компромиссные" соотношения:

$$H_{\text{нач}} = t_0/4, \quad \text{если } (t_0/4)256 \leq T \quad (10)$$

$$H_{\text{нач}} = T/256, \quad \text{если } (t_0/4)256 > T.$$

В начальной точке  $t_0=0$  принимается всегда  $U_{\text{вых}}(0)=0, v(0)=0$ . Первая точка, в которой производятся вычисления, отстоит от нуля на четверть начального шага,  $t_1 = H_{\text{нач}}/4$ , но точка  $t_2$  уже отличается от  $t_1$  на полную величину шага  $H$ .

В целях контроля и удобства последующей обработки результатов перед началом вычисления интегралов на печать выводится условный восьмеричный код, соответствующий выбранному варианту и исходные данные: марка кабеля, длина отрезка, его характеристические времена  $t_0$  и  $t_1$  и длина интервала  $T$ . Затем печатается строка из четырех десятичных чисел, соответствующих номерам клавиш на пульте (блоки 17, 18 и 19).

Интегралы (3) вычисляются по методу Симпсона с автоматическим выбором шага интегрирования по заданной относительной точности (блок 22, стандартная программа СП-120).

Интегрирование соотношения (2) заменено суммированием по формуле

$$U_{\text{вых}}(t_i) = \sum_{j=0}^{i-1} U_{\text{вых}}(t_i - t_j) v(t_j)(t_j - t_{j-1}). \quad (11)$$

## V.

В последней части программы (рис.5) проводится анализ получаемых на каждом этапе величин  $U_{\text{вых}}(t)$  и  $v(t)$ . В зависимости от результатов анализа вырабатывается шаг  $H_{i+1}$  для следующего этапа. Точность, с которой известно поведение импульсной характеристики в начальной области ее спада, существенно влияет на все последующие вычисления. Поэтому в программе предусмотрен ряд блоков (24,28 - 31), которые запрещают увеличение шага  $H$  на первых этапах расчета. Время запрета  $t_{\text{зап}}$  кратно величине  $r_0$ :

$$t_{\text{зап}} = r_0 \cdot$$

После снятия запрета ( $t_i > t_{\text{зап}}$ ) величина каждого последующего шага  $H_{i+1}$  зависит от относительной скорости изменения функции  $v(t)$  на предшествующем этапе.

При

$$|v(t_{i-1}) - v(t_i)| / [v(t_{i-1}) + v(t_i)] \geq d, \quad (12)$$

где  $d$  - заданная константа, величина следующего шага не меняется. В случае нарушения неравенства (12) шаг удваивается. Новый, удвоенный шаг  $H_{\text{удв}}$  может оказаться столь велик, что дальнейшие вычисления с ним выведут нас за пределы заданного временного интервала  $T$ . Чтобы избежать этого в блоке увеличения шага (блок 33) предусмотрена коррекция величины  $H_{\text{удв}}$ , а именно

$$H_{\text{корр}} = H_{\text{удв}} \text{ при } H_{\text{удв}} (256-1) < T - t_i \quad (13)$$

или  $H_{\text{корр}} = (T - t_i) / (256-1)$  - в противоположном случае.

Величины шагов  $H$ , оптимальные для описания импульсной характеристики  $v(t)$ , могут оказаться неудачными при расчете выходного напряжения, например, в области резкого спада. В программе предусмотрены блоки (25 - 27), устраняющие этот недостаток. Если модуль абсолютного изменения величины  $U_{\text{вых}}(t)$  на одном шаге  $H_i$  превысит заданную величину  $\Delta$ , то программа возвращается назад и просчитывает интервал  $H_i$  с более мелким фиксированным шагом  $H'$ .

$$H' = H_i \left[ \left\{ \frac{U_{\text{вых}}(t_i) - U_{\text{вых}}(t_{i-1})}{\Delta} \right\} + 2 \right]^{-1}, \quad (14)$$

где фигурные скобки означают взятие целой части числа.

Обращение к блокам дробления шага (25 - 27) разрешено при любом номере шага  $i$ , кроме двух первых.

По окончании подсчета величин  $v(t_i)$  и  $U_{\text{вых}}(t_i)$  вычисляется  $U_{\text{вх}}(t_i)$  для момента  $t_i$  путем повторного обращения к блоку  $U_{\text{вх}}$ . По мере заполнения поля накопления результаты расчетов выводятся на печать. После окончания вычислений ( $i = 255$ ) происходит допечатка оставшихся на поле результатов (стандартная программа печати СП - 110) и повторно печатается десятичная строка с номерами клавиш ДЗУ - 1, соответствующих только что сосчитанному варианту. Двойная печать десятичной строки в начале и в конце выдачи помогает оператору при работе со сбоями картами.

Время счета одного варианта существенно зависит от вида входного воздействия. Для наиболее простого сигнала - единичного прямоугольного импульса - оно не превышает 5 минут вместе с печатью.

К настоящему времени написаны блоки программы, позволяющие считать искажения сигналов прямоугольного, треугольного видов и ступенчатой формы с фронтом конечной длительности. Возможны вычисления и для входного воздействия, заданного в виде таблицы значений  $\{t_q, U_{\text{вх}}(t_q)\}, q < 64$ . Отдельная программа для расчетов переходной характеристики в память машины не введена. Вычисления производятся по подпрограмме для прямоугольного входного импульса достаточной длительности с заменой коэффициента  $\alpha$  в блоке 15 (ф-ла 9) на единицу. В основной программе не предусмотрена выдача на печать значений импульсной характеристики  $v(t)$ . На печать они могут быть выведены с помощью специальной перфокарты. Далее показано расположение информации в массиве результатов для обоих вариантов

$t_1$	$t_1$
$U_{\text{вх}}(t_1)$	$U_{\text{вх}}(t_1)$
$U_{\text{вых}}(t_1)$	$U_{\text{вых}}(t_1)$
$t_2$	$v(t_1)$
.....	.....
$t_{255}$	$t_{255}$

Выдача результатов заканчивается повторной печатью строки с десятичными номерами клавиш ДЗУ - 1. Для удобства построения графиков значения  $U_{\text{вх}}$  всегда снабжены признаком.

В ряде практических случаев достаточно описать переходную характеристику кабеля временем установления  $t_{\text{уст}}^{1/2}$  без точного знания ее формы. В программе предусмотрен блок вычисления  $t_{\text{уст}}$ . Включение его в работу производится специальной картой. По окончании вычислений на печать выводятся  $t_{\text{уст}}, t_1, U_{\text{вых}}(t_1), \ln t_{\text{уст}}, \text{ и } \lg t_{\text{уст}}$ . Если для расчетов задан слишком короткий интервал  $[U_{\text{вых}}(T) < 0,5]$ , то будут отпечатаны два ряда семерок,  $T$  и  $U_{\text{вых}}(T)$ .

Программа может быть дополнена блоками для работы с любыми видами входных воздействий. Схема построения блока показана в приложении. Там же даны сведения, необходимые при пополнении библиотеки исходных данных.

По описанной программе проведено большое число расчетов переходных характеристик искажений импульсов в кабелях, применяемых в опытах на ускорителе Лаборатории ядерных проблем.

Авторы благодарны Л.А. Кулюкиной, Г.Л. Семашко и Г.Г. Субботиной за советы при написании программы и ее отладке, а также коллективу операторов машин М-20 за помощь в продолжительных расчетах.

#### Л и т е р а т у р а

1. Л.А. Моругин, Г.В. Глебович "Наносекундная импульсная техника". Изд-во "Советское радио", Москва 1984 г.
2. G. Fidecaro, Nuovo Cimento, Suppl. XV (1960) 254.
3. G. Brianti, preprint CERN 65-10 (1965), Geneva.
4. В.И. Кацалапенко "Провода и кабели в СЦБ и связи". Изд-во "Транспорт", Москва 1986 г.

Рукопись поступила в издательский отдел  
15 мая 1987 года.

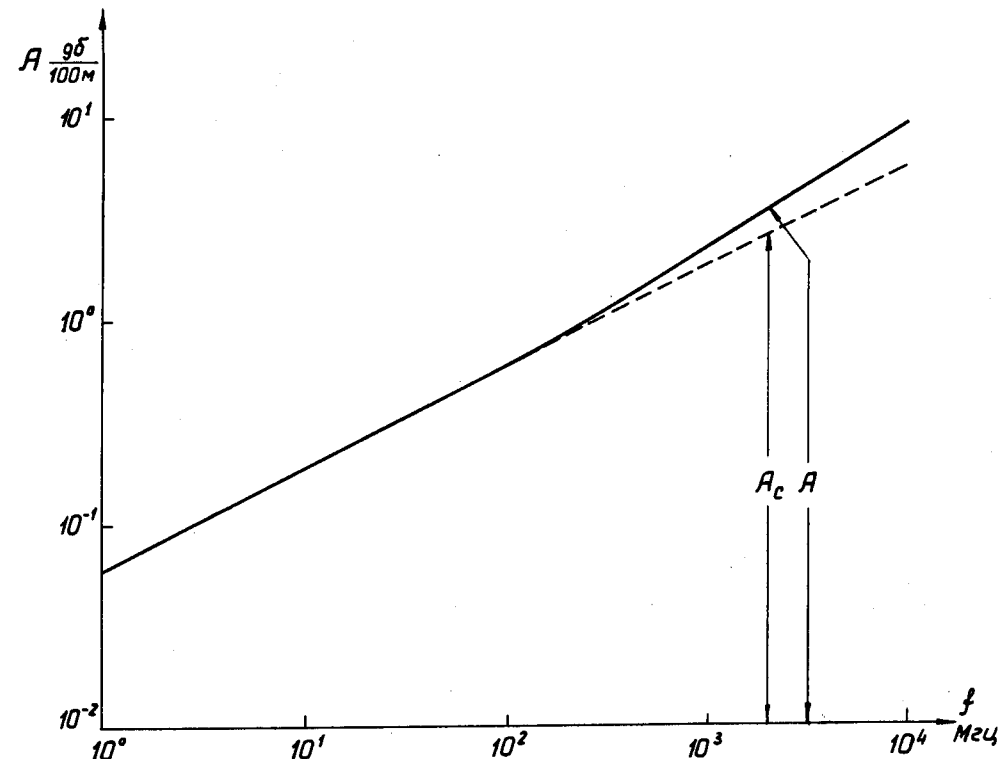


Рис.1. Частотная характеристика кабеля.  $A_c$  – потери только в проводниках,  $A$  – полные потери.

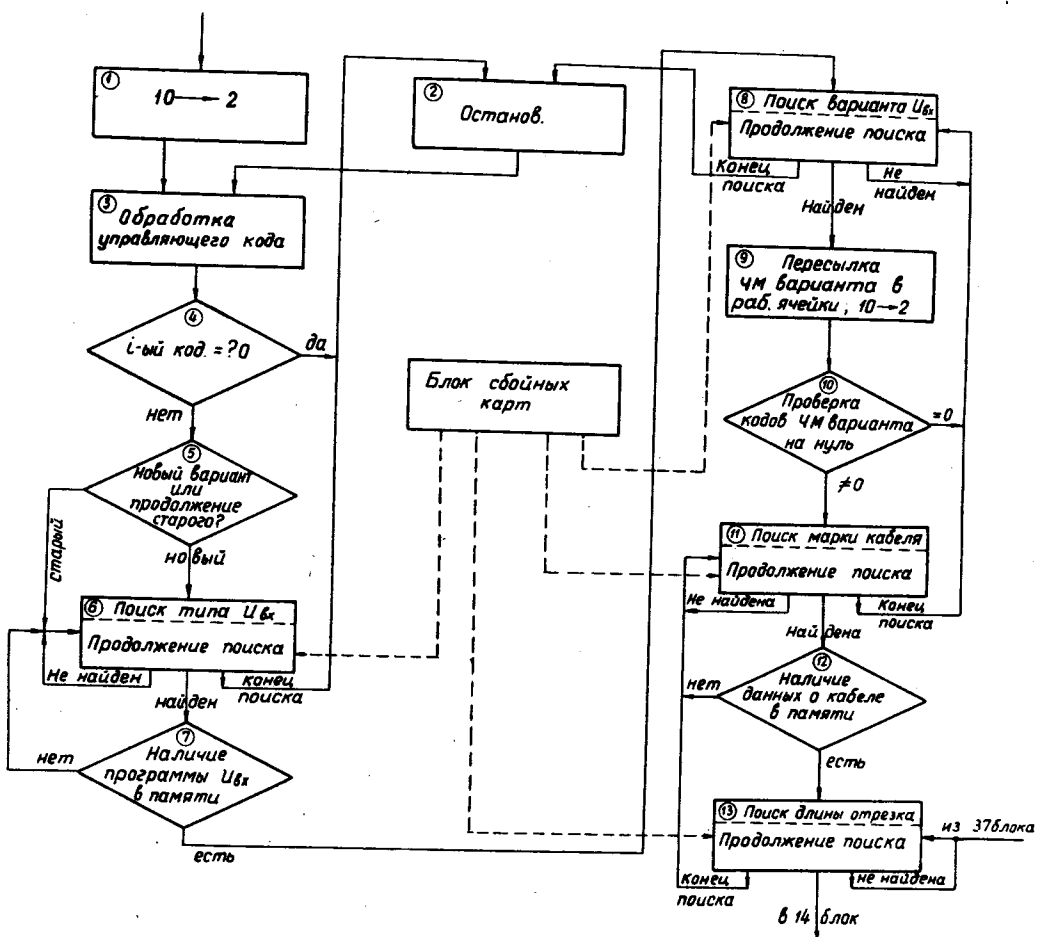


Рис.2. Блок-схема первой части программы.

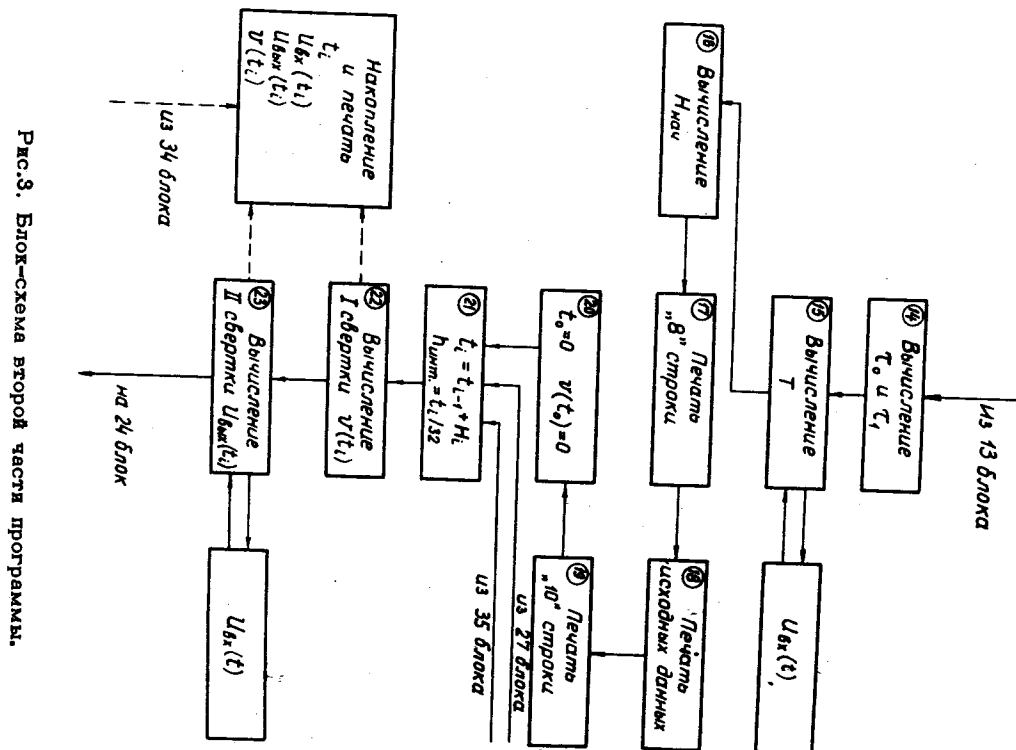


Рис.3. Блок-схема второй части программы.

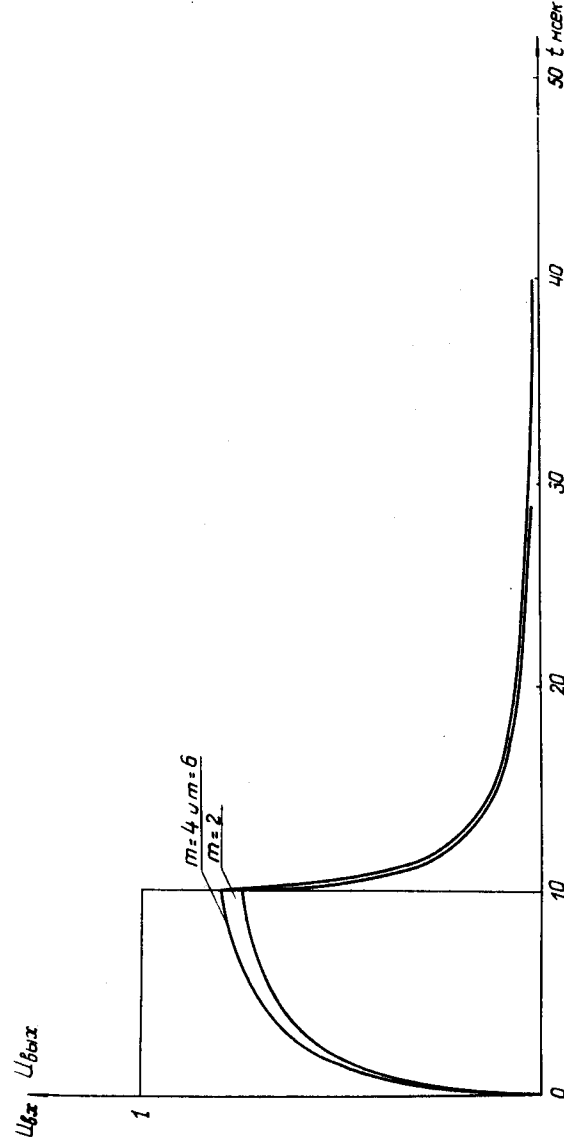


Рис.4. Зависимость результатов расчета от выбора начального шага.

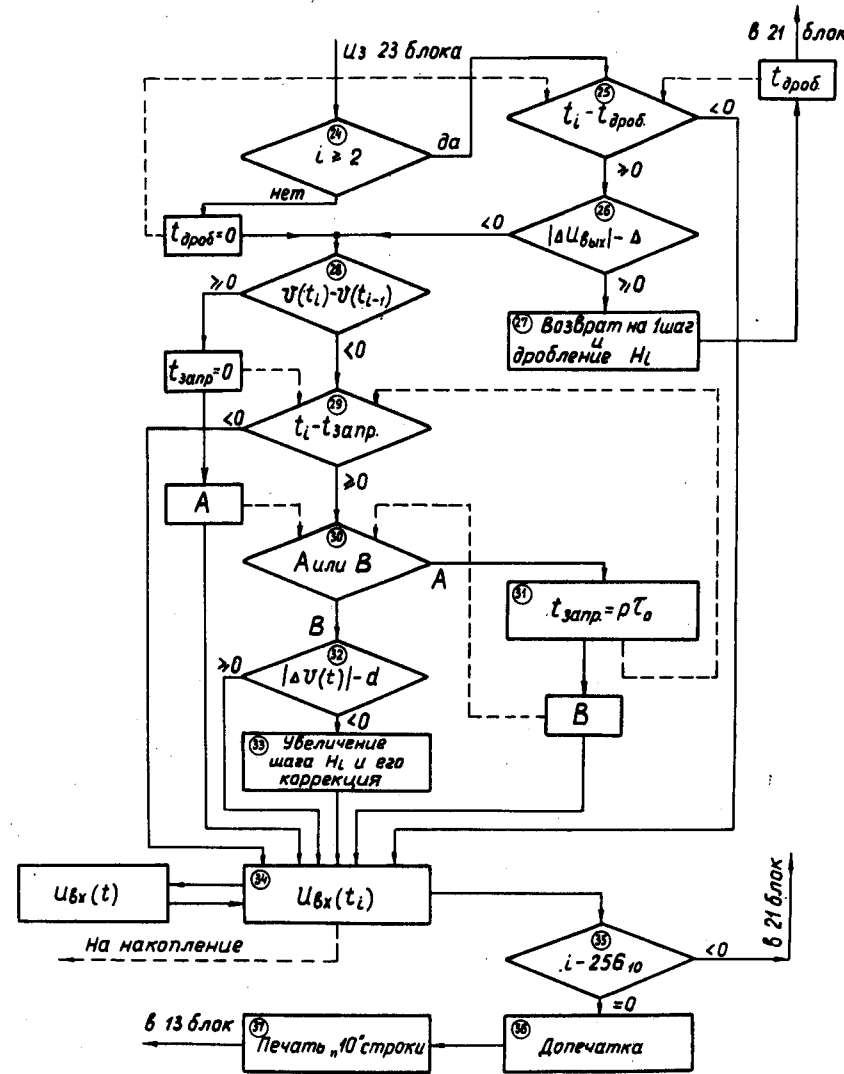


Рис.5. Блок-схема третьей части программы.

ПРИЛОЖЕНИЕ.

Инструкция к программе.

1. Набрать на ДЗУ -I управляющий код, соответствующий рассчитываемому варианту.
2. Убедиться, что в массиве перфокарт не лежат сбойные перфокарты; иначе вместо счета произойдет останов по команде 0 77 в ячейке 0017.
3. Ввести программу. После печати исходных данных варианта начнется счет. Через каждые 45 - 60 сек. печать и продолжение счета.
4. По окончании счета всех заданных вариантов останов в ячейке 0503 по команде 0 77.
5. За ходом вычислений можно следить в ячейке 5776, где во втором адресе идет счет по 0004, начиная с 0004 и до 1770.
6. Если нужно окончить счет, не дожидаясь конца варианта, то набрать останов по КРА 0771.
7. Если при наборе кода на ДЗУ - I допущена ошибка, то произойдет останов в ячейке 0503. После исправления кода для продолжения счета нажать кнопку "Пуск".
8. При сбоях: найти на последней выдаче десятичную строку вида +++03 I7 27 37 (числа даны для примера) и набрать клавиши с этими номерами на ДЗУ - 2, не трогая управляющего кода на ДЗУ - I. Вломить в "дополнения" сбойные карты и ввести весь массив перфокарт. То же самое проделать и в случае плохой печати или обрыва бумаги.

Порядок расположения перфокарт.

1. Карта ввода с контрольной суммой (она же вызывает ИС - 2).
2. Основная программа с контрольной суммой.
3. Библиотека исходных данных с контрольной суммой.
4. Дополнения (например, карта печати  $v(t)$  или карта вычисления  $t_{уст}$ ).
5. Нулевая контрольная сумма.

КАРТА ВВОДА.

000I	50	0013	000I	7767	Бызов ИС - 2
2	70	7500	000I		
3	52	6000		7615	
4	52	6000		754I	
5	I0	000I	0005		
6	I0	000I	0006	Ввод основной программы	
7	30	000I	0010		
I0	56		0500		
4 I2	35I6	0527	7347		

ОСНОВНАЯ ПРОГРАММА.

0444	00	0444	ка	4/ $\pi$ 4/ $\pi$ Коэффициент при $T_0$ . Коэффициент при $T_1$ . $3/2$ $\ln 10$ $n$ $m$ Отн. точность вычисления интеграла $E$ Оценка отн. прироста $v(t)$ Ограничение абс. прироста $U_{\text{ макс}}(t)$ $P$ Отн. точность вычисления $t_{уст}$
45	00			
46	0I	225	670	
47	0I	I27	320	
50	- 03	420		
51	00	366		
52	0I	I50		
53	0I	230	260	
54	0I	500		
55	0I	400		
56	- 0I	I00		
57	- 0I	I00		
60	00	I00		
61	0I	400		
62	- 02	500		
63	00			
0464	I I2	0010	0725	Для восстановления ячейки 0712 Для цикла пересылки ЧМ варианта Для нормализации числа оставшихся шагов Для цикла пересылки ЧМ варианта при счете "по точкам" Для восстановления ячейки 0513 № типа при счете "по точкам" Обращение к интегралу при полной АЧ Обращение к интегралу при укорочен. АЧ
65	I I2	7777	0553	
66	5 00		000I	
67	I 26		0150	
70	I I2		I774	
71	00	0150	I005	
72	36	0104	0250	
73	00		0515	
74	00	0064	0III	
75	00	0064	00II	
76	00		I170	
77	00		I210	
0500	I6	050I	I167	
I	52	0350	I210	
2	56		0463	
3	77	0100	0504	
			0III	
			00II	

0504	20	0001	0I00	[дзУ - I] → 0I00 0 → PA		0564	36	0524	
5	52			Цикл по обработке управляющего кода		65	55	772I	0I06
6	55	773I	0I00	0I01	i -й код = 0? Да, уход на останов	66	4 52	7777	0562
7	36	0I04	0503	0I03	Конец цикла по обработке	67	36	0562	057I
I0	I 12	0003	0506	0001	Выделение ятКОП	70	52		
II	53		0I00	0I04	ятКОПст = ятКОПнов?	71	00		
I2	15	0I04	0III		Да, продолжение поиска.	72	4 54	0I00	0I01
I3	36	0I04	0515	0III	Начало блока поиска типа U вх	73	36	0562	0I05
I4	52			0515	52 0 (I 0000 - №разр) 0	74	55	772I	0I05
I5	00				Сдвиг вправо на 100 - (34 + [PA]) разр.	75	4 52	7777	057I
I6	4 54	0034	0I04	0III	Код = 0, конец поисков	76	36	057I	
I7	36		0503		Проверка последнего разряда на единицу	77	33	7724	057I
20	55	772I	0III		[PA - I] → 0515	0600	72	0I20	№ отрезка → 0I20
21	4 52	7777		0515	Послед. разряд = 0, продолжение поиска	I	4 15	0427	0050
22	36			0524	Начало блока поиска номера варианта	2	36	057I	
23	52					3	33	7732	0562
24	00					4	54	0I2I	0I2I
25	4 54	0050	0I03	0I07		5	72	0I22	0I22
26	36		0503			6	4 15	0353	
27	55	772I	0I07			7	36	0562	
30	4 52	7777		0524		I0	4 05	0352	0050
31	36				№ типа → 0III2	II	05	005I	005I
32	33	7724	0515	0III2	№ типа = 00III?	I2	05	005I	005I
33	I5	0473	0III2		Да, ПУ на программу счета "по точкам"	I3	2 04	005I	0353
34	36		0772		№ типа в PA	I4	04	0446	005I
35	72		0III2		Строка ТХ в раб. ячейку	I5	6 02	035I	0352
36	4 00	I050		0III3	0 → PA	I6	02	0052	
37	52				Цикл по обработке строки ТХ	I7	76	0475	0626
40	5 55	773I	0III3	0III4	Конец цикла	20	05	0052	0050
41	36	0III7	0515	0III6	Обработка коэффициентов строки ТХ	21	05	0052	045I
42	I 12	0003	0540	0001		22	2 04	0052	0353
43	33	7732	0524	0I4I		23	04	0447	0052
44	I3	77II	0I4I	0III7		24	05	0054	0053
45	65	0III7	0II6	0II7		25	00	0474	0673
46	I3	0III4	0II7	0II7		26	72		0III2
47	74	775I	0II7	0II7		27	2 72		I050
50	I3	0466	0II7	0553	Формирование команд пересылки	30	3 16	063I	000I
51	I3	0465	0II6	0554	ЧМ варианта в рабочие ячейки	3I	05	0055	0454
52	52				Начало цикла пересылки	32	04	005I	0455
53	00				}	33	06	0II0	0077
54	00				Цикл пересылки	34	02	0056	0053
55	I5		0I5I		2-ой кофф. ЧМ = 0?	35	76	0055	0637
56	36		0524		Да, уход на поиски нового варианта	36	46	0II0	0056
57	I6	0560	750I	76I0	I0 → 2 ЧМ варианта	37	74	775I	0II2
60	I 52	0I50	0042	0I47		40	I3	7722	0I4I
61	52			0562	Начало блока поиска марки кабеля	4I	74	7750	0I26
62	00					42	I3	7722	0I2I
63	4 54	0064	0I02	0I06					0I27

Начало блока поиска длины отрезка

$\ell = 0$ , ПУ на поиски нового отрезка  
Выборка сведений о кабеле

$f_i = 0$ ?  
Да, поиски следующей марки кабеля  
 $A_c \ell$

$(A_c \ell)^2 k_1$

$T_s$

$A - A_c$

Засыпка обращения к укорочен. АЧ

$T_1$

$k_0$

Засыпка обращения к полной АЧ

№ типа в PA

$\alpha$  прогр в PA  
ПУ на программу вычисл.  $t$  возд

Интервал Т

Начало блока Нач

Начало блока печати условного кода

0643	54	0064	0120	0130
44	52		0003	0131
45	4 13	0125	0131	0131
46	I 32	0001	0645	7777
47	I 6	0650	7501	7610
50	52	0131	0007	0131
51	72			0122
52	4 00	0350	3773	
53	52		5777	
54	5 00	0050	3774	
55	I 12	0003	0654	0001
56	I 00		3777	$t_0 = 0, U_{\text{вх}} = 0, U_{\text{вых}} = 0, v(0) = 0$
57	I 32	0002	0656	7777
60	I 6	0661	7501	7610
61	72	3773	0027	4000
62	46	0102	0077	4004
63	I 6	0664	II25	II46
64	32	0666	0004	
65	5 01	3774	0077	4000
66	4 00	4000	0063	
67	2 06	0073	4000	0057
70	I 6	0671	7501	7610
71	00	0057	0120	0060
72	I 00		4000	
73	00	64	1103	1103
74	I 00	0456	4003	
75	5 05	4003	0054	4003
76	00			
77	00		0065	
0700	6 52		0710	
1	2 02	0063	4000	0067
2	00	773	1104	1103
3	2 05	0070	4003	0071
4	6 02	4000	3774	0067
5	05	0071	0067	0071
6	01	0065	0071	0065
7	I 32	0005	0701	7774
10	00			
II	I 00	0065		4002
12	I 12	0010	0725	
13	4 02	4000	0072	
14	36	0710	0755	5776
15	6 02	4002	3776	0076
16	03	0076		0076
17	04	0076	0460	0076
20	76		0726	

Печать условного кода  
Блок образования "шапки"  
Очистка счетчика для СИ - ОИIO  
Цикл переноса начальных данных  
 $t_0 = 0, U_{\text{вх}} = 0, U_{\text{вых}} = 0, v(0) = 0$   
Печать "шапки"  
ПУ на печать десятичной усл. строки  
Обращение к программе вычисл. интеграла  
 $\langle h \rangle \quad N_{\text{сп}} \quad \langle x \rangle$   
 $\langle a \rangle \quad \langle b \rangle$   
 $\langle f \rangle \quad \text{вх. АЧ} \quad \text{вых. АЧ}$   
 $\langle \varepsilon \rangle \quad \langle J \rangle$   
 $J \cdot k_0 = v(t)$   
Очистка ячейки суммы  
Запоминание  $[PA]_{\text{оп}}$   
 $t_i - t_j$   
ПУ в блок вычисления  $U_{\text{вх}}$   
 $U_{\text{вх}}(t_i - t_j)v(t_j)$   
 $\Delta t_j$   
 $U_{\text{вх}}(t_i - t_j)v(t_j) \Delta t_j$   
Образование суммы  
Конец цикла по  $j$   
Восстановление РА  
 $U_{\text{вых}}(t_i)$   
Обход блока дробления шага при  $i < 2$   
 $t_i - t_{\text{здр}}$   
 $U_{\text{вых}}(t_i) - U_{\text{вых}}(t_{i-1})$   
 $\Delta U_{\text{вых}}$

0721	21	7753	0076	0076
22	01	7762	0076	0076
23	04	0077	0076	0077
24	4 56	4000	0665	0072
25	00			0072
26	6 02	4003	3777	0076
27	76		0753	
30	4 02	4000	0073	
31	36		0755	
32	00			
33	05	0051	0461	0073
34	16	0735	0755	0732
35	6 01	4003	3777	0075
36	04	0076	0075	0075
37	03	0075	0457	
40	76		0755	
41	06	0101	0077	
42	6 52		0124	
43	33	0467	0124	0124
44	21	0124		0074
45	2 02	0056	4000	0075
46	05	0074	0077	0076
47	02	0075	0076	
50	76		0755	
51	04	0075	0074	0077
52	56		0755	
53	00			0073
54	00		0732	
55	4 00	4000		0067
56	66	0752	1104	
57	I 75	0070	7714	4001
60	16	0761	7501	7610
61	7 52	4000	0110	4002
62	52	3476	5777	3767
63	I 12	1770	0665	0004
64	5 01	3774	0077	4000
65	16	0766	7501	7610
66	5 52	4000	0110	4000
67	52	3476	5777	3767
70	16	0771	1144	II46
71	56		0571	
72	33	7732	0524	0141
73	72		0141	
74	4 15	1062		0134
75	55	7734	0134	0135
76	36		0524	
77	54	0101	0135	0135

Выделение целой части  
Число мелких шагов  $N$   
Длина мелкого шага  $H$   
ПУ на вычисления с мелким шагом  
 $v(t_i) - v(t_{i-1})$   
 $t_i - t_{\text{здр}}$   
Коммутатор  
 $t_{\text{здр}} = \rho t_0$   
ПУ на вычисления  $U_{\text{вх}}(t_i)$   
Удвоение шага  
Число оставшихся шагов  
 $T - t_i$   
Начало блока коррекции шага  
ПУ на вычисление  $U_{\text{вх}}(t_i)$   
Н корр  
ПУ на вычисление  $U_{\text{вх}}(t_i)$   
Очистка ячейки коммутатора  
 $t_i$   
Команда ухода в блок  $U_{\text{вх}}(t_i)$   
Метка +  $U_{\text{вх}}(t_i)$   
Обращение к программе накопления и печати СИ - ОИIO  
Конец цикла, возврат на расчет  $t_{i+1}$   
Допечатка, СИ - ОИIO  
Повторная печать дес. условн. строки  
ПУ в блок поиска длины отрезка  
Начало блока обработки числового массива при счете "по точкам"  
Перенос заголовка варианта в раб. яч.  
Обработка заголовка

I000	I3	0470	0I35	0I36
I	34	775I	0I34	0I37
2	I3	0I36	0I37	I0I3
3	34	7750	0I34	0I37
4	72		0I37	0I40
5	4 00		0072	$t_i$ в раб. ячейку массива $t$
6	4 00	000I	0073	$U(t_i)$ в раб. ячейку массива $U(t)$
7	4 72		0I40	0I37
I0	I 00	0072		Образование массива $t$
II	I 00	0073	0250	Образование массива $U(t)$
I2	4 72	000I	0I37	0I40
I3	00			Конец цикла
I4	72		0I40	
I5	I6	I0I6	750I	76I0
I6	I 52	0I50	0042	0I47
I7	I6	I020	750I	76I0
20	I 52	0250	0042	0247
21	33	0I40	7722	0I40
22	I3	047I	0I40	I042
23	56		056I	
24	56	I026	I030	0702
25	00			Формирование строки обращения к СП-0I25
26	I6	0703	I033	I044
27	I6	0757	I033	I044
30	72		0I40	
31	4 00	0I50	0055	$n_{t_i-1}$ в РА
32	56	I027	I025	0756
33	4 72		0I40	I043
34	02		0067	
35	76		I043	0070
36	4 02	0I50	0067	
37	36		I043	0070
40	I6	I04I	750I	76I0
41	00	0067	0I25	0070
42	00			Программа квадратичной интерполяции
43	00			СП - 0I25
44	00			Восстановление РА основной программы
45	00			Команда возврата в ОП
46	00			Пустые
47	00			Начало таблицы характеристик со сл. яч.
50	00			№ типа = 1, сигнал прямоугольной формы
51	00	0002	I076	2000
52	00	0002	I147	2030
53	00	0003	I220	2060
54	00			№ типа = 2, сигнал треугольной формы
55	00			№ типа = 3, сигнал ступенчатой формы
56	00			№ типа = 4
				№ типа = 5
				№ типа = 6

I057	00			
60	00			
61	00			I024
62	00			
63	00			
64	00			
65	00			
66	00			
67	00			
70	00			
71	00			
72	00			
73	00			
74	00			
75	00			
76	56	II00	II02	0702
77	00			
II00	I6	0703	II04	III3
I	I6	0757	II04	III3
2	00	0I50		0055
3	56	II0I	I077	0756
4	4 52			III2
5	02	0067		
6	36		III2	0070
7	02	0I50	0067	
IO	76	0I5I	III2	0070
II	00			0070
I2	00			
I3	00			
I4	00			
I5	00			
I6	00			
I7	I 13	0044		
20	I 13	0030		
2I	I 27	0000	00I4	
22	I 43			00I2
23	20			
24	00	7400	7400	7400
25	54	0064	0I25	0I25
26	52			0I3I
27	7 I3	III7	0I25	0I25
30	3 I4	0I0I	0I25	0I25
3I	5 2I	0I25	7764	0I25
32	16	II33	750I	76I0
33	5 75	0I25	00I0	0I25
34	3 I4	0044	0I25	0I25
35	3 55	773I	0I25	0I25

Продолжение таблицы характеристик

№ типа = 9, счет " по точкам "  
Заголовок I-го варианта счета "по точкам"  
Продолжение таблицы заголовков

Заголовок I2-го варианта  
Начало блока  $U_{\text{имп}}$  для прямоуг. сигнала  
Команда возврата в яч. 063I ОП  
Для ячейки 0702 ОП  
Для ячейки 0756 ОП  
 $t_{\text{возд}} = t_{\text{имп}}$

Запоминание [РА] основной программы

$t > 0 ?$   
за, дальше;  $U_{\text{имп}} = 0$   
 $t_{\text{имп}} - t$   
 $U_{\text{имп}} = U_{\text{имп}}$   
 $U_{\text{имп}} = 0$

Восстановление РА основной программы  
Команда возврата в ОП

Пустые

Константы для формирования строки  
десятичных номеров клавиш ДЗУ - I

Начало блока формир. десятичной строки

Сложение с константой  
Сдвиг влево на 1 разряд  
Сложение с 1/2 и нормализация

I0 → 2  
Сдвиг в А3 и еще на 4 разряда вправо  
Выделение А3

II36	I 12	000I	II40	Обход сдвига для I-го номера
37	7 74	7747	0I25	Сдвиг по адресам
40	4 I3	0I25	0I3I	Образование строки
41	I 12	0003	II27	Конец цикла
42	73	0I3I	II23	Формирование I-го номера
43	75	0I3I	II24	Образование промежутков между номерами
44	50	2100	0I3I	}
45	70	0I3I		Печать строки
46	00			Команда возврата в ОП
47	56	II5I	II53	Начало блока $\mu_{\text{вх}}$ для ступенч. сигнала
50	00			Команда возврата в яч. 063I ОП
51	I6	0703	II55	Для ячейки 0702 ОП
52	I6	0757	II55	Для ячейки 0756 ОП
53	0I	0I50	0I5I	$t_{\text{возд}} = t_1 + t_2$
54	56	II52	II50	
55	4 52		II65	Запоминание (РА) основной программы
56	02		0067	$t > 0?$
57	76		II65	
60	04	0067	0I50	$t/t_1 = \mu_{\text{вых}}$
61	76		0070	
62	02	0055	0067	$t_{\text{вых}} - t$
63	36		II65	
64	04	0067	0I5I	$\mu_{\text{вых}}$
65	00			Восстановление РА основной программы
66	00			Команда возврата в ОП
67	56	776I	II75	Начало АЧ интеграла
70	02	0063	0060	$t_i - \infty$
71	04	006I	0052	$(t_i - \infty)/\tau_i$
72	05	006I	006I	$[(t_i - \infty)]^2/\tau_i^2$
73	06	0I02	0062	$4[(t_i - \infty)/\tau_i]^2$
74	0I	776I	0062	$1 + 4[(t_i - \infty)/\tau_i]^2$
75	15		0060	$\infty = 0?$
76	36		I2I0	
77	06	0I02	0060	$4x$
1200	04	005I	0062	$\tau_0/4x$
I	16	I202	750I	}
2	00	0062	000I	$(\tau_0/4x)^{\frac{1}{2}}$
3	04	000I	006I	$(\tau_0/4x)^{\frac{1}{2}}/1 + 4[(t_i - \infty)/\tau_i]^2$
4	03	0062	0062	$- \tau_0/4x$
5	16	I206	750I	}
6	00	0062	0003	$e^{-\tau_0/4x}$
7	05	0062	006I	$f(x)$
10	00			Команда выхода из АЧ
II	55	774I	05I4	
12	55	774I	0523	}
13	55	774I	056I	Команды восстановления ячеек ОП
14	55	774I	0570	после работы сбойных карт

I2I5	00	0472	05I3	Восстановление ячейки 05I3
16	I6	057I	077I	Возврат в ОП и восстановление яч. 077I
I7	00			
20	56	I222	I224	Начало блока $\mu_{\text{вх}}$ для ступенч. сигнала
21	00			Команда возврата в яч. 063I ОП
22	I6	0703	I226	для ячейки 0702 ОП
23	I6	0757	I226	для ячейки 0756 ОП
24	0I	0150	0I5I	$t_{\text{возд}} = t_1 + t_2$
25	56	I223	I22I	
26	4 52		I235	
27	02		0067	
30	76		I235	$t/t_1 = \mu_{\text{вых}}(t)$
31	04	0067	0I50	$\mu_{\text{вых}}(t) = 1$
32	76		I234	$\mu_{\text{вых}}(t) = \mu_{\text{вых}} \cdot \mu$
33	00	776I		Восстановление РА основной программы
34	05	0070	0I52	Команда возврата в ОП
35	00		0070	Смена счетчиков
36	00		0070	$t_i - t_{i-1} = N$
37	4 72		I273	$N/4$
40	6 02	4000	3774	ПУ на вычисление интеграла
41	66	7762	0076	ПУ на вычисление интеграла
42	5 02	4000	0077	$U(2) - U(1) = \Delta U$
43	I6	I244	0665	$ \Delta U  \leq 0$ , выход из цикла
44	2 52		0712	$\frac{1}{2} t_{\text{вых}}$
45	I6	I246	0666	Смена счетчиков
46	6 02	4002	3776	$t_{\text{вых}}$
47	02		0076	Обход при счете I-ой производной
50	4 76	3776	I277	Конец цикла вычисления производных
51	04	0077	0076	
52	4 00	3774		
53	4 72		I272	
54	I 26	776I	0074	
55	I 75	77I4	0075	
56	I 12	000I	I262	
57	6 03	3476	3474	
60	2 04	0076	3476	
61	03	0076	0462	
62	I 5I	0032	I237	
63	I 00	0066		
64	I6	I265	750I	
65	5 00	3474	0004	
66	5 04	3477	0453	
67	I6	I270	750I	
70	5 72	3474	0027	
71	56	0464	0770	
72	00		0712	
73	00			

Схема построения подпрограммы  $U_{\text{вх}}(t)$ .

I274	4 00	3776	0076	
75	I6	I276	750I	76I0
76	72	0075	0027	0076
77	I6	I300	750I	76I0
I300	52	7747	0007	7747
I	56	0464	0770	0712
	I7	3367	5660	7717

Печать  $t_i$  и  $U_{\text{вых}}(t_i)$ ,  
если производная не может быть вычислена.  
Печать 7777....., если при вычислении  
производной не достигнута точность  
Возврат в ОП, восстановление яч. 0712  
Контрольная сумма программы

С Б О Й Н Ы Е К А Р Т Ы .

0017

кА  
Останов для исправления упр. кода  
[ДЗУ - 2] —> 0142  
Обход при PA = 0

0017	77			
20	20	0002	0142	
21	32		0023	
22	54	0064	0142	0142
23	4 52		7777	003I
24	4 54	010I	0142	0143
25	55	772I	0143	
26	I 12	7764	0017	7777
27	36		0024	
30	4 52	0002	0143	
31	52			Восстановление PA
32	I 74	7750	0143	0144
33	I 12	0003	0022	000I
34	I 3	0514	0147	0514
35	I 3	0523	0146	0523
36	I 3	056I	0145	056I
37	I 3	0570	0144	0570
40	I6	I2II	0514	077I
			ПУ в ОП, подготовка команд восстановления.	
0513	56		0020	кА ПУ на начало сбойных карт

К А Р Т А В Ы Д А Ч И Н А П Е Ч А Т Ъ  $v(t_i)$

		076I		кА
076I	7 52	4000	0II0	4003
62	52	3470	5777	3767
				кА
0767	52	3470	5777	3767

К А Р Т А ДЛЯ ВЫЧИСЛЕНИЯ  $t_{\text{уст}}$

		0755		кА
0755	56		0757	Обход ячейки 0756
56	00			
57	4 02	4002	7764	$U_{\text{вых}}(t_i) - 0,5$
60	76		I240	I272
61	I 12	I770	0665	0004
62	4 56	3774	I274	0075
				ПУ на печать, если $U_{\text{вых}}(t_{\text{уст}}) < 0,5$

Подпрограмма состоит из строки, вносимой в таблицу характеристик (TX), и блоков, вычисляющих  $t_{\text{возд}}$  и  $U_{\text{вх}}(t)$ . Стока TX имеет следующий вид:

I050+е	00	$n$ коэф	$\alpha$ прогр	$\alpha_{\text{IЧМ}}$	кА
Блоки, вычисляющие $t_{\text{возд}}$ и $U_{\text{вх}}(t)$ располагаются друг за другом, начиная с $\alpha$ прогр					

$\alpha$	$\alpha$ прогр	$\alpha + 2$	$\alpha + 4$	0702	кА
$\alpha + I$	56				Начало блока $t_{\text{возд}}$
$\alpha + I$	00				Для команды возврата в ОП
$\alpha + 2$	I6	0703	$\alpha + \gamma + 1$	$\alpha + w$	Для ячейки 0702 ОП
$\alpha + 3$	I6	0757	$\alpha + \gamma + 1$	$\alpha + w$	Для ячейки 0756 ОП
$\alpha + 4$					Блок вычисления $t_{\text{возд}}$
					К началу работы блока ЧМ варианта пере-
					веден в "2" систему и расположены в МО-
					ЗУ, начиная с ячейки 0150
					конец блока $t_{\text{возд}}$
$\alpha + \gamma$	56	$\alpha + 3$	$\alpha + I$	0756	Запоминание PA основной программы
$\alpha + \gamma + 1$	4 52				В блоке предусмотреть $U_{\text{вх}}(t < 0) = 0$
$\alpha + \gamma + 2$					$U_{\text{вх}}(t > t_{\text{возд}}) = 0$
					К началу работы $\langle t \rangle = 0067$
					По окончании работы $\langle U_{\text{вх}}(t) \rangle = 0070$
$\alpha + w - 1$	00				Восстановление PA основной программы
$\alpha + w$	00				Для команды возврата в ОП

Пояснения:  $n$  коэф - (число)<sub>8</sub> величин, входящих в числовую массив варианта;  $\alpha_{\text{IЧМ}}$  - адрес начала ЧМ первого варианта. Всего под массивы всех вариантов отводится ( $14 \times n$ )<sub>8</sub> ячеек. Второе число любого массива не должно быть нулем.

К настоящему времени в основную программу введены 4 подпрограммы для различных типов входных воздействий.

1 типа = 1 (клав. 37) - сигнал прямоугольной формы.  $\alpha_{\text{IЧМ}} = 2000$ . ЧМ варианта содержит 2 числа:  $t_1$  - длительность импульса в исек.,  $U$  - амплитуда импульса.

2 типа = 2 (клав. 38) - сигнал треугольной формы.  $\alpha_{\text{IЧМ}} = 2030$ . ЧМ варианта содержит 2 числа:  $t_1$  - длительность фронта в исек.,  $t_2$  - длительность спада в исек.

3 типа = 3 (клав. 39) - сигнал ступенчатой формы.  $\alpha_{\text{IЧМ}} = 2060$ . ЧМ варианта содержит 3 числа:  $t_1$  - длительность фронта в исек.,  $t_2$  - длительность плоской части в исек.,  $U$  - амплитуда плоской части в относительных единицах.

$$\int K(t-\tau) E_T(\tau) d\tau = U(t)$$

$$K(t) = n(t) \frac{\pi}{\sqrt{4\pi t^2}} e^{-\frac{(t-t_0)^2}{4t_0}}$$

$$n = 3.05 \cdot 10^{-4}, t_0 = 10^4$$

№ типа = 9 ( клав. 45) - сигнал произвольной формы. Числовой массив варианта задан в виде таблицы значений:  $t_1, U_{bx}(t_1), t_2, U_{bx}(t_2), \dots, t_q, U_{bx}(t_q)$ ;  $q < 64$  ИО и должен быть снабжен заголовком:

1040+ № вар  
1040+ № 00 (q-1)<sub>8</sub> 0  $\alpha_{\text{ЧМ}}$   $\alpha_{\text{ЧМ}}$  - адрес I -ой строки таблицы.  
 $t_2$  не должно быть нулем.

Некоторые сведения о построении библиотеки исходных данных.

Под длины отрезков кабелей отведены ячейки 0430 - 0443. Им соответствуют клавиши ДЗУ - I с I по I2. Длины кабелей должны быть заданы в метрах.

Данные об электрических свойствах кабелей хранятся в ячейках 0350 - 0427. Для каждой марки кабеля отведено 4 ячейки: марка кабеля в виде десятичного числа, напр. 00 100700110, величина полного затухания A в дБ/100 м, величина затухания A<sub>c</sub> в дБ/100 м, частота f, при которой замерены A и A<sub>c</sub>, в МГц.

Каждой марке кабеля соответствует одна из клавиш ДЗУ - I, начиная с № I3 по № 24.

Числовые массивы вариантов вводятся в расчет согласно коду в AI ДЗУ - I. Первому варианту соответствует клавиша № 25.

Список стандартных программ,  
используемых при работе основной программы.

- СП - 0001 -  $x^y$ ,
- СП - 0003 -  $e^x$ ,
- СП - 0004 -  $\ln x$ ,
- СП - 0007 - восемеричная печать,
- СП - 0010 - перевод числа из двоичной системы в десятичную,
- СП - 0027 - перевод массива чисел из двоичной системы в десятичную и печать,
- СП - 0042 - перевод массива чисел из десятичной системы в двоичную,
- СП - 0110 - перевод в десятичную систему с накоплением и последующей печатью,
- СП - 0120 - вычисление интеграла с автономным выбором шага,
- СП - 0125 - квадратичная интерполяция с произвольным шагом.